

پتروگرافی، زمین‌شیمی و مینرالوگرافی سنگ‌های ولکانیکی منطقه سیستانک (جنوب‌شرق قائن)

حجت محولاتی^(۱)، ایرج رسا^(۲) و آیدا محبی^(۳)

۱. دانشجوی کارشناسی ارشد زمین‌شناسی اقتصادی، دانشکده علوم زمین، دانشگاه شهید بهشتی
۲. استاد، گروه زمین‌شناسی، دانشگاه شهید بهشتی
۳. دانشجوی دکتری، گروه زمین‌شناسی، سازمان زمین‌شناسی و اکتشافات معدنی کشور

تاریخ دریافت: ۹۳/۰۸/۲۵

تاریخ پذیرش: ۹۴/۰۹/۲۹

چکیده

کانسار مس سیستانک از نظر جغرافیایی در شرق ایران و جنوب‌شرق شهرستان قائن (خراسان جنوبی) واقع شده است. به طور کلی محدوده مس سیستانک واقع در شرق زون ایران مرکزی است که بخشی از آن در زون فلیشی و بخش دیگر آن در بلوك لوت قرار گرفته است. از لحاظ چینه‌شناسی، سنگ‌های قدیمی‌تر از ژوراسیک در محدوده مورد مطالعه مشاهده نشده است. بر اساس مطالعات پتروگرافی، سنگ‌های آتشفشنای منطقه به دو گروه گدازه (آندریتی و آندزیت-بازالت) و اذرآواری (آلکومرا و توف) تقسیم می‌شوند. این سنگ‌ها در رده کالک‌آلکالن و کالک‌آلکالن پتاسیم بالا قرار می‌گیرند. بر اساس ترکیب شیمیایی، سنگ‌های آتشفشنای مورد نظر در محدوده آندزیت و آندزیت-بازالت قرار می‌گیرند. کانه‌های اصلی مس در گدازه‌های آندزیتی شامل: مس خالص، کالکوسیت، مالاکیت است. علاوه بر این کانه‌های اکسید آهن شامل هماتیت و گوتیت نیز در نمونه‌ها حضور دارند. عموماً زون کانه‌زایی در بالاترین تراز گدازه‌های آتش‌فشنای قرار می‌گیرد و ماده معدنی به صورت چینه‌کران است. چنین ویژگی نشانگر ابی‌زنیک بودن ذخایر است. بر اساس ویژگی‌های زمین‌شناسی و کانی‌سازی، کانسار مس سیستانک احتمالاً یک کانسار تیپ می‌شیگان است.

واژه‌های کلیدی: آندزیت، حاشیه فعال قاره‌ای، کالک‌آلکالن، مس خالص، سیستانک قائن.

مقدمه

محدوده مورد مطالعه در استان خراسان جنوبی در ۴۴ کیلومتری جنوب‌شرقی شهرستان قائنات، بین طول‌های ۳۳° ۳۴' ۳۷/۹۵" و عرض جغرافیایی ۳۷° ۶/۷۰" ۳۹/۸۲" ۳۶° ۵۹' ۵۲/۰۸" شرقی^{*} شمالی و در بخش جنوب‌غربی برگه زمین‌شناسی ۱:۱۰۰/۰۰۰

* نویسنده مرتبط: H.mohavelati@Gmail.com

جدول ۱. مختصات نمونه‌های برداشت شده

| ردیف | نام مقطع | نام نمونه | تعداد نمونه | مختصات جغرافیایی (UTM) |
|------|----------|-----------|-------------|------------------------|
| ۱ | Sis T1 | ۲ | ۷۵۱۱۰۸ | ۳۷۲۰۲۶۹ |
| ۲ | Sis T4 | ۲ | ۷۵۱۱۴۹ | ۳۷۲۰۰۶۴ |
| ۳ | Sis T5 | ۲ | ۷۵۰۷۶۴ | ۳۷۲۰۵۲۵ |
| ۴ | Sis T8 | ۲ | ۷۵۰۱۴۸ | ۳۷۲۲۰۸۱ |
| ۵ | Sis AN1 | ۱ | ۷۴۷۶۵۵ | ۳۷۲۲۱۱۰۱ |
| ۶ | Sis AN2 | ۲ | ۷۴۷۳۵۵ | ۳۷۲۲۰۸۱ |
| ۷ | Sis AN3 | ۲ | ۷۴۸۱۰۸ | ۳۷۲۲۲۲۹ |
| ۸ | Sis AG1 | ۲ | ۷۵۰۸۵۵ | ۳۷۲۰۰۸۲ |
| ۹ | Sis AG2 | ۱ | ۷۴۷۴۷۳ | ۳۷۲۲۲۲۲ |

در سطح هوازده، آندزیت‌های منطقه سیستانک دارای رنگ سیاه و در بعضی از نقاط به رنگ خاکستری تیره هستند. در سطح تازه و شکسته شده خاکستری تا قرمز است. در سطح سنگ، کانی‌های شفافی مشاهده می‌شود که اغلب پلازیوکلаз می‌باشند و اندازه آن‌ها به دو یا سه میلی‌متر می‌رسد. آندزیت‌ها در منطقه سیستانک به صورت جریانی، دارای روند جنوب‌شرقی - شمال‌غربی هستند؛ اما در بعضی از نقاط این روند به یک روند پورفیری نامنظم تبدیل می‌شود (شکل ۱).

بافت آندزیت‌ها معمولاً پورفیری با زمینه ریزدانه می‌باشد. فنوکریست‌های آندزیت‌های پورفیری را بلورهای پلازیوکلاز (غالباً بافت منطقه‌ای) و کانی‌های مافیک تشکیل می‌دهند. زمینه سنگ می‌تواند شیشه‌ای یا جریانی باشد. بافت حفره‌ای و بادامکی نیز در آندزیت‌ها معمول است و عموماً حفرات به وسیله کانی‌هایی چون کوارتز، کلریت و کلسیت پر شده‌اند. پیروکسن دومین فنوکریست در نمونه است. فراوانی کمی دارد. شکل پیروکسن‌ها اغلب بی‌شکل تا نیمه شکل دار هستند.

آبیز واقع شده است. به طور کلی محدوده مس سیستانک در شرق زون ایران مرکزی واقع است که بخشی از آن در زون فلیشی و قسمت دیگر آن در بلوك لوت قرار گرفته است. سنگ‌های منطقه سیستانک در دسته سنگ‌های حد واسط تا اسیدی قرار می‌گیرند. طبق مطالعات انجام‌شده سنگ‌ها بیشتر شامل آندزیت، آندزیت‌بازالت و پیروکلاستیک‌های توف‌ها و آگلومرا بودند. سن این واحدهای ولکانیکی ژوراسیک است (شکل ۲۲).

روش پژوهش

با انجام عملیات صحرائی نه نمونه سنگی (جدول ۱) که تا حد امکان از سطح تازه و بدون هوازدگی بودند، برداشته شدند و با استفاده از این نمونه‌ها اقدام به تهیه مقاطع نازک به تعداد ۱۶ عدد شد که تهیه آن‌ها در آزمایشگاه سازمان زمین‌شناسی کشور و مطالعه در آزمایشگاه کانی‌شناسی دانشگاه شهید بهشتی صورت گرفت. علاوه بر این، هفت نمونه XRF جهت مطالعه عناصر اصلی سنگ‌ها نیز تهیه شدند. نمونه‌ها برای آنالیز به شرکت فراوری مواد معدنی ایران ارسال و روش آنالیز به صورت ذوب بوده است.

سنگ‌شناسی

۱. آندزیت

قدیمی‌ترین واحد سنگی شناسایی شده در نقشه ۱:۲۰۰۰۰ سیستانک، واحد آندزیتی به سن ژوراسیک است. این واحد، گسترش خوبی در بخش جنوبی نقشه دارد. اتصال واحد آندزیتی با واحد مجاورش گسله است.



شکل ۱. نمایی از واحد سنگی آندزیت در رخنمون (A) و نمونه دستی (B)

برای تشکیل بافت غربالی لازم است. (Kuscu and Floyd, 2001). استوارت و پیرس (Stewart and Pearce, 2004) معتقدند که ناپایداری بلورهای پلازیوکلاز در حین حرکت سریع مگما به سمت بالا باعث پیدایش بافت غربالی در پلازیوکلاز می‌شود. چرا که بعضی از بخش‌های پلازیوکلاز به طور بخشی ذوب می‌شود و محصولات ناشی از ذوب پلازیوکلاز در داخل پلازیوکلاز شروع به تبلور می‌نمایند. بافت گلومروبورفیریک نیز در برخی نمونه‌ها مشاهده می‌شود بافت گلومروبورفیریک نیز در برخی نمونه‌ها مشاهده عدم تعادل در مagma تشکیل دهنده این سنگ‌ها می‌باشد (شکل‌های ۲ و ۳).



شکل ۲. کانی‌ها و بافت‌های مشاهده شده در نمونه آندزیت (پلازیوکلاز: Pla)

پیروکسن‌ها در لابه‌لای پلازیوکلازها به دام افتاده‌اند. فراوانی کانی‌های اپک در این تیپ سنگی نسبت به دیگر سنگ‌های منطقه، زیادتر است. میکرولیت‌های در زمینه آندزیتی این نمونه هیچ گونه جهت یافتنی از خود نشان نمی‌دهند. در زمینه علاوه بر میکرولیت‌ها، شیشه نیز حضور دارد. بافت غربالی دانه درشت در شرایط تحت اشباع از آب و نرخ کاهش فشار متوسط رخ می‌دهد (Tsuchiyama, 1985). وجود همزمان پلازیوکلازهای نرم‌الوی و پلازیوکلازهای دارای بافت غربالی نمی‌تواند فقط به دلیل برداشته شدن فشار تشکیل شده باشد. به همین دلیل اختلاط با یک مagma آبدار و داغ‌تر

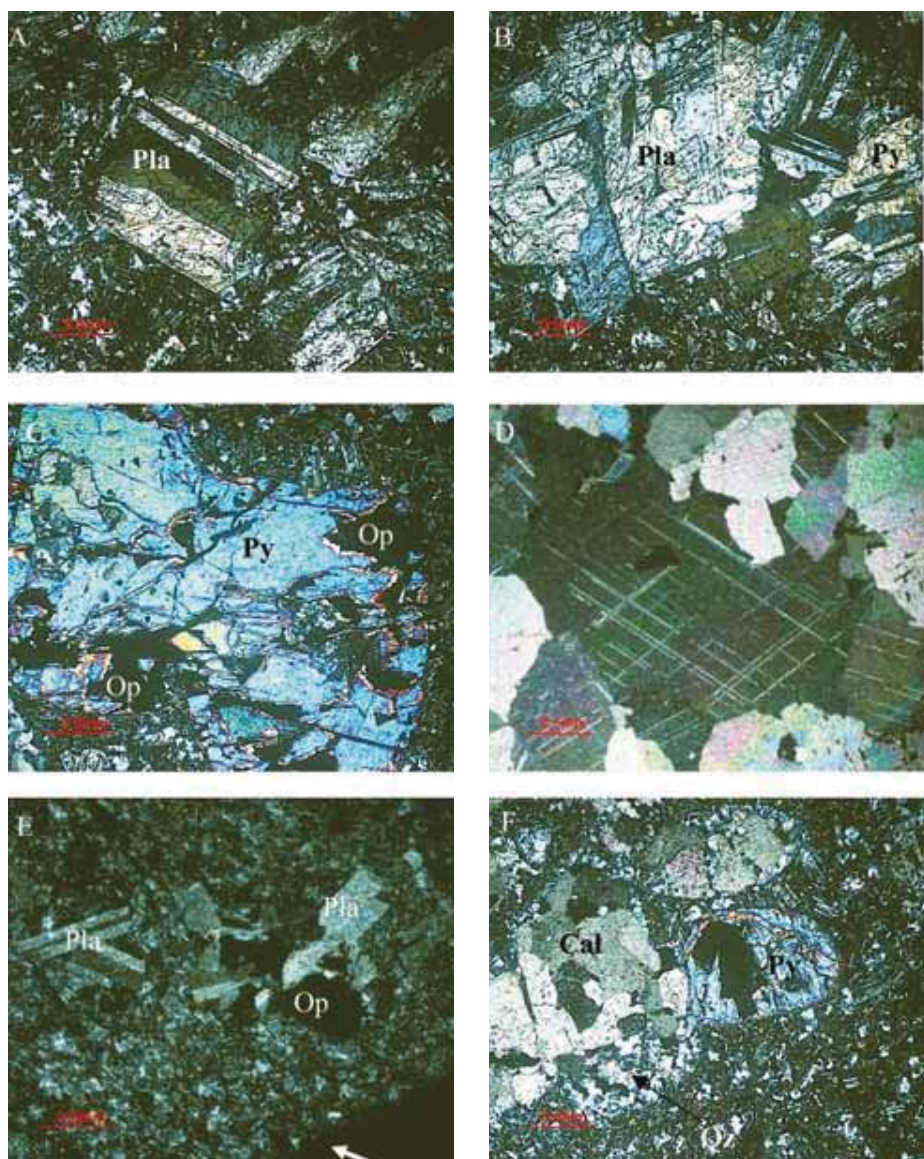


سبز رنگ کلریت نیز حضور دارد. سنگ در سطح هوای ده به رنگ خاکستری است و در سطح تازه و شکسته شده به رنگ سیاه می‌باشد (شکل ۴). بافت اصلی در واحد آندزیت- بازالت، پورفیری با زمینه شیشه‌ای می‌باشد. البته تیغه‌های ریزی از پلازیوکلازها نیز در نقاطی از مقطع با تراکم کم دیده می‌شود که به میکرولیت معروف است. پیروکسن اغلب درشت بلور است و گاهی شکل دار تا نیمه شکل دار دیده می‌شوند. پلازیوکلازها هرچند که دانه درشتند ولی فراوانی چندانی ندارند. پلازیوکلازها در این تیپ سنگی، کانی غالب می‌باشند (شکل‌های ۵ و ۶).

۲. آندزیت - بازالت

واحد آندزیت-بازالت دارای روند مشابه دیگر و لکانیک‌های منطقه است که از جنوب‌شرقی تا شمال‌غربی منطقه سیستانک امتداد یافته است. نسبت به واحدهای دیگر، وسعت چندانی ندارد و به صورت پراکنده در منطقه دیده می‌شود. تمرکز این واحد در بخش شرقی منطقه بیشتر است.

در نمونه دستی واحد آندزیت - بازالت حفره‌هایی وجود دارد که اکثرًا با کوارتز پر شده‌اند. در سطح سنگ کانی‌های شفاف تیغه‌ای دیده می‌شود که در مطالعات پتروگرافی معلوم شد که پلازیوکلاز می‌باشد. علاوه بر پلازیوکلاز، کانی



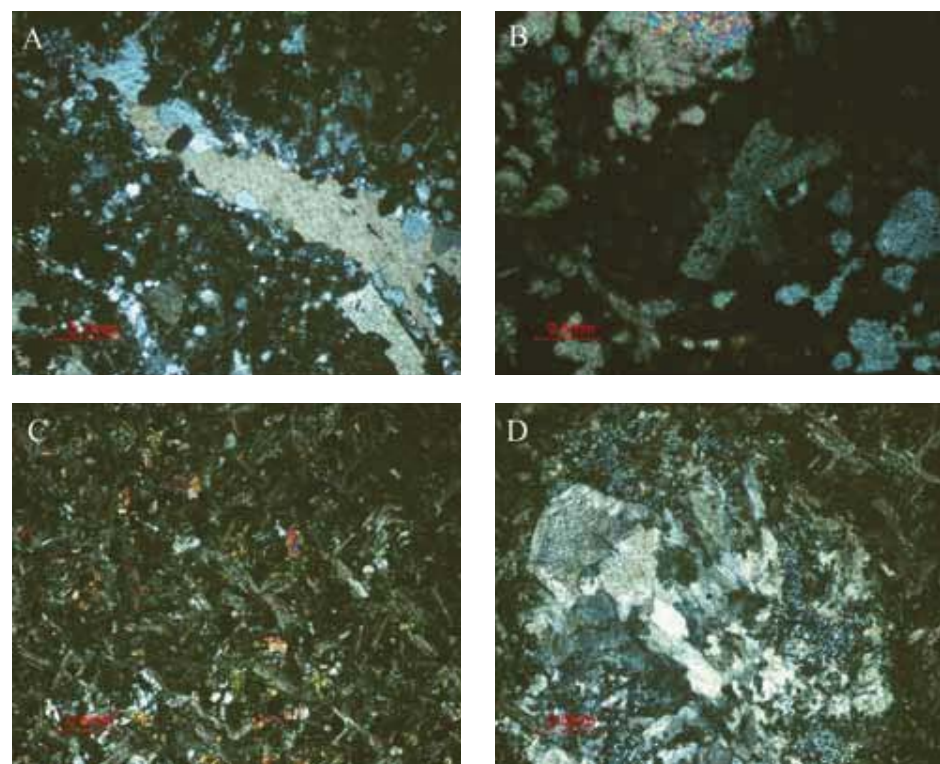
شکل ۳. پلازیوکلاز (Pla) با ماکل پلی‌سنتتیک و بافت غربالی (A)، پلازیوکلاز زونهای و پیروکسن (Py) (B)، درشت بلور پیروکسن به همراه کانی اپک (Op) (C)، پرشدگی حفرات توسط کانی کلسیت (Cal) (D)، نمایی از بافت گلومروپورفیری و فنوکریست پلازیوکلاز (E)، بافت آمیگدالی که حفرات توسط کلسیت و کوارتز پرشده‌اند (F)



شکل ۴. نمایی از واحد آندزیت - بازالت در رخنمون (A) و نمونه دستی (B)



شکل ۵. نمایی از بافت پورفیری با زمینه شیشه‌ای و میکرولیت‌های پلازیوکلاز در آندزیت - بازالت



شکل ۶. پرشدگی حفرات توسط کلسیت و کوارتز در نمونه (A)، بافت گلومروپورفیریتیک در نمونه (B)، بافت فلتی (C) و بافت آمیگدالی که با کوارتز و کلریت پر شده است (D)

۳. آگلومرا و توف

واحد آگلومرا قرار گرفته است. لایه‌ای بودن توف‌ها حاکی از دخالت داشتن فرایندهای رسوبی در منطقه می‌باشد. تمرکز واحد توفی بیشتر در غرب منطقه سیستانک می‌باشد. در نمونه دستی دارای رنگ خاکستری متمایل به سبز است. دانه‌های ریز و سفید رنگی در سطح سنگ دیده می‌شود، که اغلب آنها پلازیوکلاز و تعداد کمی از آنها نیز کوارتز هستند (شکل‌های ۷ تا ۹).

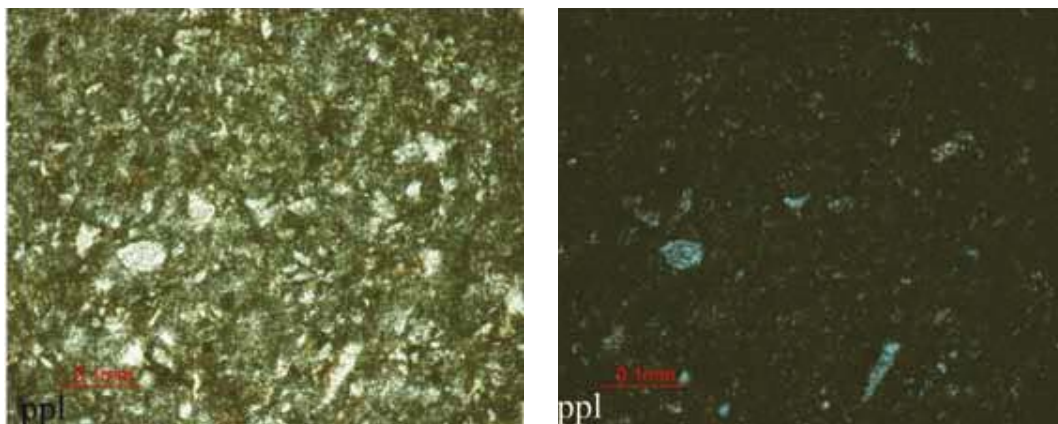
واحد آگلومرا از واحد آندزیت جوانتر است. مرز این واحد با واحد قبلی گسله و با واحد بعدی یک مرز عادی است. گسترش واحد آگلومرا در بخش جنوبی نقشه می‌باشد. واحد آگلومرا بعد از واحد آندزیتی گسترش غالب منطقه می‌باشد. آثار کلریت و اکسید آهن حاصل از هوازدگی سطحی در این آگلومراها دیده می‌شود. در واحد آگلومرایی، واحد توف، به صورت لایه‌ای سبز رنگ رخمنون دارد. واحد توف گسترش چندانی ندارد و به صورت موضعی و پراکنده در میان



شکل ۷. نمایی از آکلومرای با اندازه متفاوتی از دانه‌ها



شکل ۸. نمایی از لایه‌بندی توف‌ها (A) و تصویری از نمونه دستی توف (B)



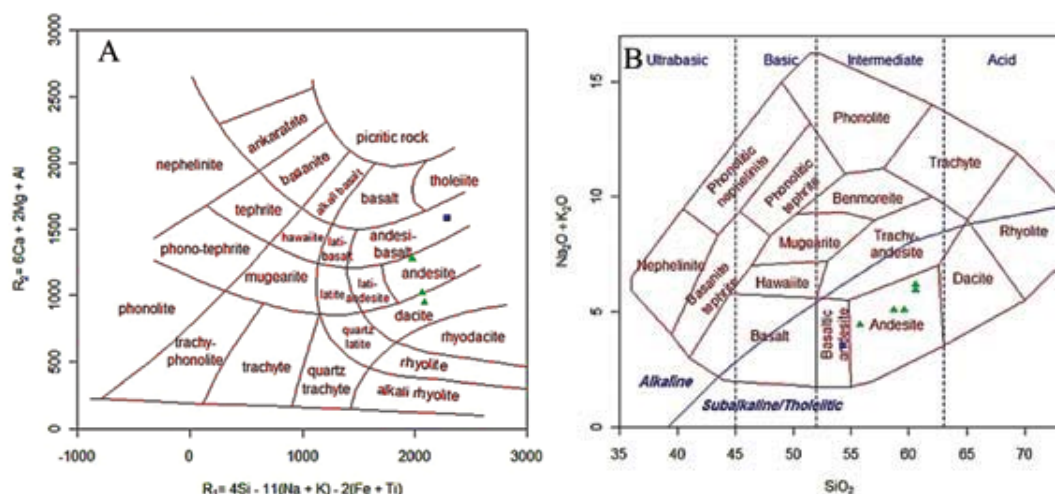
شکل ۹. نمایی از بافت و فنوكربیست‌های توف‌ها

ژئوشیمی

نام‌گذاری شیمیایی سنگ‌های مورد مطالعه

رسم شده است، در محدوده آندزیت و آندزیت-بازالت قرار می‌گیرند دلارش و همکاران (De la Roche et al., 1980) الگوی طبقه‌بندی برای سنگ‌ها آدرین آتشفسانی و نفوذی را براساس نسبت‌های کاتیونی آنها که به صورت میلی کاتیونی بیان می‌شوند، پیشنهاد کردند (شکل ۱۰).

درصد (SiO_2) سنگ‌های منطقه سیستانک بین ۵۴/۲۷ تا ۶۰/۵۹ درصد متغیر است. براساس ترکیب شیمیایی، سنگ‌های آتشفسانی مورد نظر در نمودار (Cox et al., 1979) که بر مبنای درصد وزنی مجموع آکالان ($\text{Na}_2\text{O} + \text{K}_2\text{O}$) در مقابل درصد وزنی سیلیس (SiO_2)

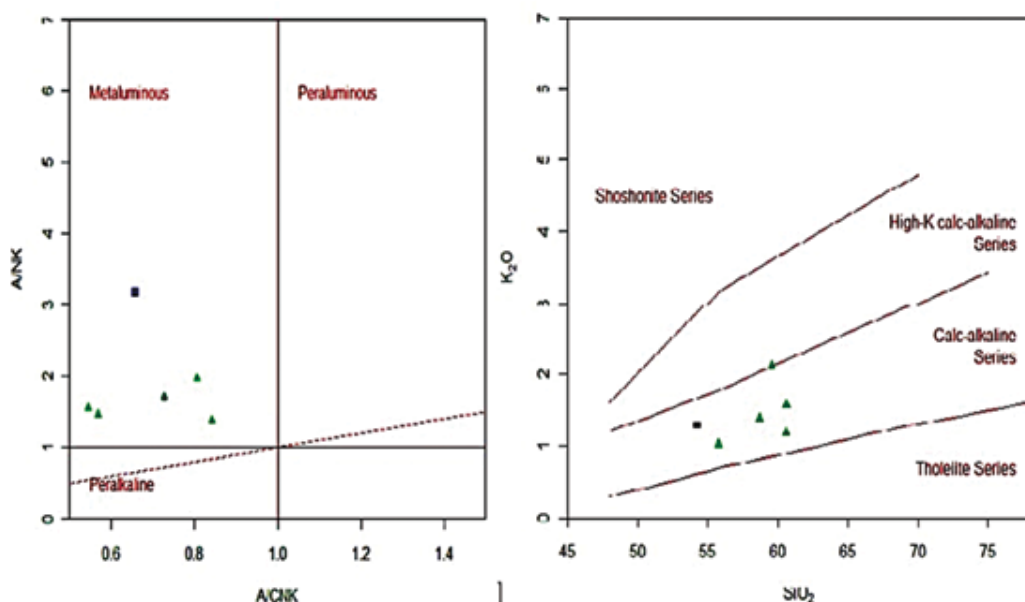


شکل ۱۰. موقعیت نمونه‌های مورد بررسی بر روی نمودار مجموع درصد وزنی آلکالی در برابر درصد وزنی سیلیس (A) (Cox et al., 1979)، (B) (De la Roche et al., 1980) نماد مثلث آندزیت - بازالت و نماد مریع بازالت می‌باشد.

تعیین سری ماگمایی

براساس مطالعات پتروگرافی، ولکانیک‌های منطقه جای می‌گیرند (شکل ۱۱). نمونه‌های آذربین محدوده مورد بررسی در نمودار (Irvin and Baragar, 1971) AFM در نمودار (Shand, 1943) A/CNK-A/NK در محدوده متابآلمینی در محدوده متابآلمین (Shand, 1943) (Shand, 1943) در محدوده کالکآلکالن واقع می‌شوند. هر چند که نمونه در محدوده کالکآلکالن واقع شوند، هر چند که نمونه آندزیت - بازالت در مرز بین دو محدوده واقع شده است (شکل ۱۲).

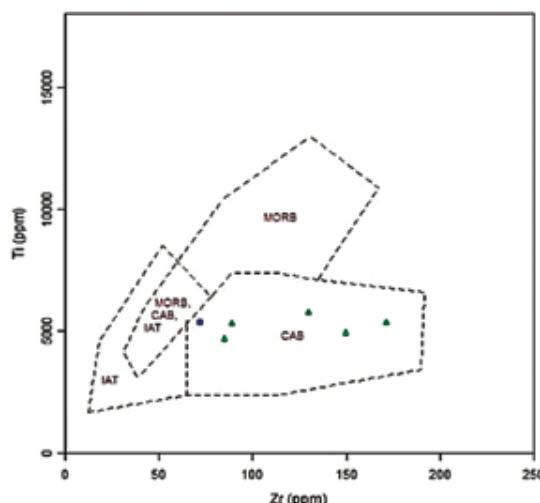
براساس مطالعات پتروگرافی، ولکانیک‌های منطقه شامل مجموعه‌ای از آندزیت، آندزیت - بازالت هستند. این سنگ‌ها در رده کالکآلکالن و کالکآلکالن پتاسیم بالا قرار می‌گیرند (نمودار K_2O در مقابل SiO_2 ؛ اقتباس از (Peccerillo and Taylor, 1976). نمونه‌های مورد بررسی از لحاظ شاخص اشباع از آلمین و براساس نمودار



شکل ۱۱. نمودار K_2O در مقابل SiO_2 ، اقتباس از (Shand, 1943) (شکل سمت راست) نمودار A/CNK-A/NK، اقتباس از (Peccerillo and Taylor, 1976) (شکل چپ). نماد مثلث آندزیت-بازالت و نماد مریع بازالت می‌باشد

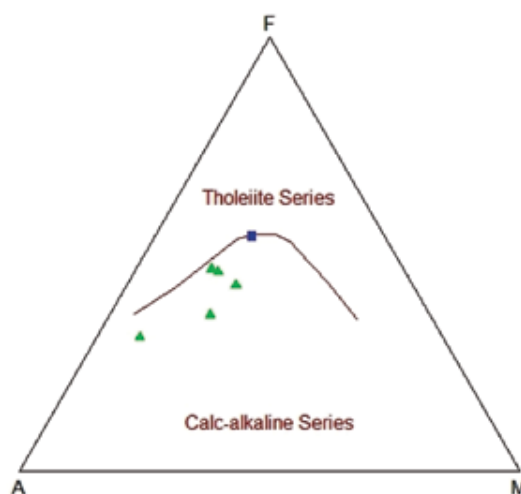
هستند که از گوشهٔ متاسوماتیزه مشتق شده‌اند. با استناد به مقدار Zr در سنگ‌های مورد مطالعه دامنهٔ وسیعی (بین ۹۰ تا ۱۸۶) را به خود اختصاص داده‌اند، که از این لحاظ به سنگ‌های سری کالک‌آلکالن شباهت دارند. سنگ‌های آتشفشنای منطقهٔ مورد مطالعه در محدودهٔ کمان ماقمایی ناشی از فروزانش قرار می‌گیرند. با توجه به خصوصیات ژئوشیمیایی و همچنین با در نظر گرفتن موقعیت زمانی و مکانی سنگ‌های آتشفشنای سیستانک، به نظر می‌رسد که این سنگ‌ها با ماقمایی‌سم ناشی از فروزانش بلوک افغان به زیر بلوک لوت در ارتباط بوده و در یک محیط کمان ماقمایی تشکیل شده‌اند (Muller and Groves, 1997).

برای تمایز کمان ماقمایی حاشیهٔ فعال قاره‌ای از کمان ماقمایی جزایر قوسی، طبق نظر پیرس (Pearce, 1983)، به نظر می‌رسد که کمان ماقمایی سازندهٔ سنگ‌های منطقه، ناشی از فروزانش یک پوستهٔ اقیانوسی به زیر یک پوستهٔ قاره‌ای بوده است. از نسبت عناصر کمیاب Y/Zr برای تشخیص رژیم تکتونیکی می‌توان استفاده کرد (Pearce, 1983). به این صورت که اگر در گدازهٔ نسبت $Y/Zr > 3$ باشد، متعلق به کمان‌های آتشفشنای قاره‌ای هستند و اگر در آنها نسبت $Y/Zr < 3$ باشد به کمان‌های آتشفشنای اقیانوسی تعلق دارند (شکل‌های ۱۳ و ۱۴).



شکل ۱۳. موقعیت سنگ‌های آتشفشنای سیستانک بروی نمودار پیرس و کان (Pearce and Cann, 1973) (نماد مثلث آندزیت - بازالت و نماد مریع بازالت می‌باشد)

نمودارهای عنکبوتی بهنجارشده عناصر خاکی نادر نسبت



شکل ۱۲. موقعیت نمونه‌های مورد بررسی بر روی نمودار AFM (Irvin and Baragar, 1971) (نماد مثلث آندزیت - بازالت و نماد مریع بازالت می‌باشد)

تعیین جایگاه تکتونیکی

- در این سنگ‌ها دو ویژگی شیمیایی قابل توجه، مشاهده می‌شود:
- مقدار Al_2O_3 نمونه‌ها بالا و در حدود ۱۶ درصد است.
 - عدد $(Mg\# = (MgO/(MgO+FeO))$) این سنگ‌ها پایین و حدود ۰/۴ می‌باشد.

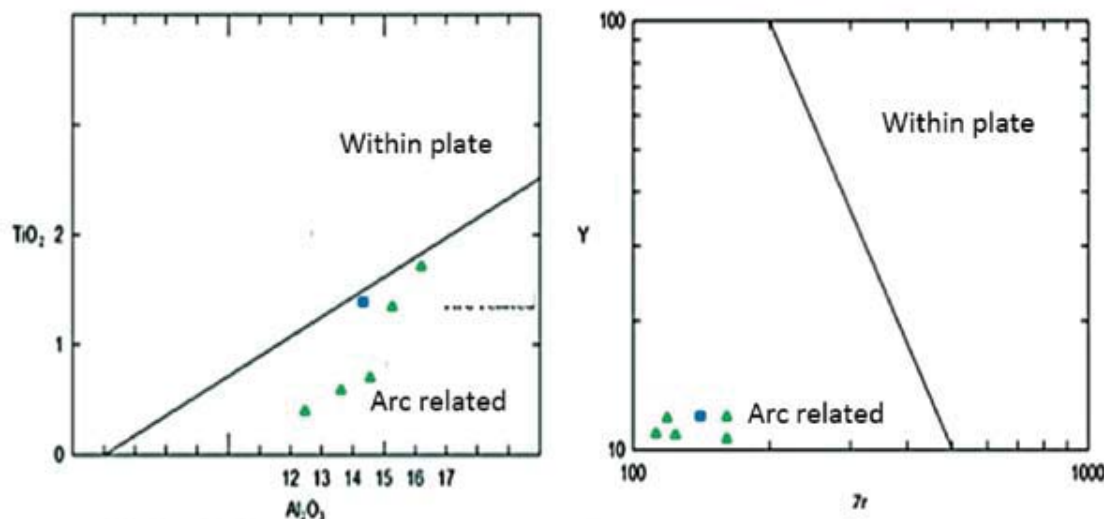
مقدار Al_2O_3 بالا در نمونه‌ها نشان‌دهندهٔ تبلور کانی‌های مافیک از مذاب اولیهٔ سازندهٔ آنها در فشارهای نسبتاً بالاست (Yoder and Tilley, 1962). که این موجب تمرکز آلومینیوم در مذاب باقیمانده شده و باعث تبلور پلازیوکلاز در فشارهای کمتر می‌شود. مقدار CaO نمونه‌ها با افزایش SiO_2 کم و بیش کاهش می‌باید که این می‌تواند مرتبط با تحول ترکیب پلازیوکلازها از کلسیت به سدیک در حین تبلور بخشی ماقماً باشد. به هر حال ارتباط ضعیف CaO در مقابل SiO_2 احتمالاً می‌تواند ناشی از آلبیتی شدن بلورهای پلازیوکلاز باشد (Morata and Aguirre, 2003).

ماگمای سازندهٔ نمونه‌های مورد آنالیز با داشتن مقدار $Mg\# = (Mg/(Mg+Fe)) \times 100$ میانگین ۰/۴ و میزان Cr/Mn میانگین ۵۴/۳۳ میانگین Ni/Mn ۱۵/۱۶ جزء ماگماهای اولیه در تعادل با گوشهٔ فوقانی قرار نمی‌گیرند، لذا یا پس از تشکیل در گوشهٔ عادی متحمل تحولات ماگمایی شده‌اند یا اینکه ماگماهایی

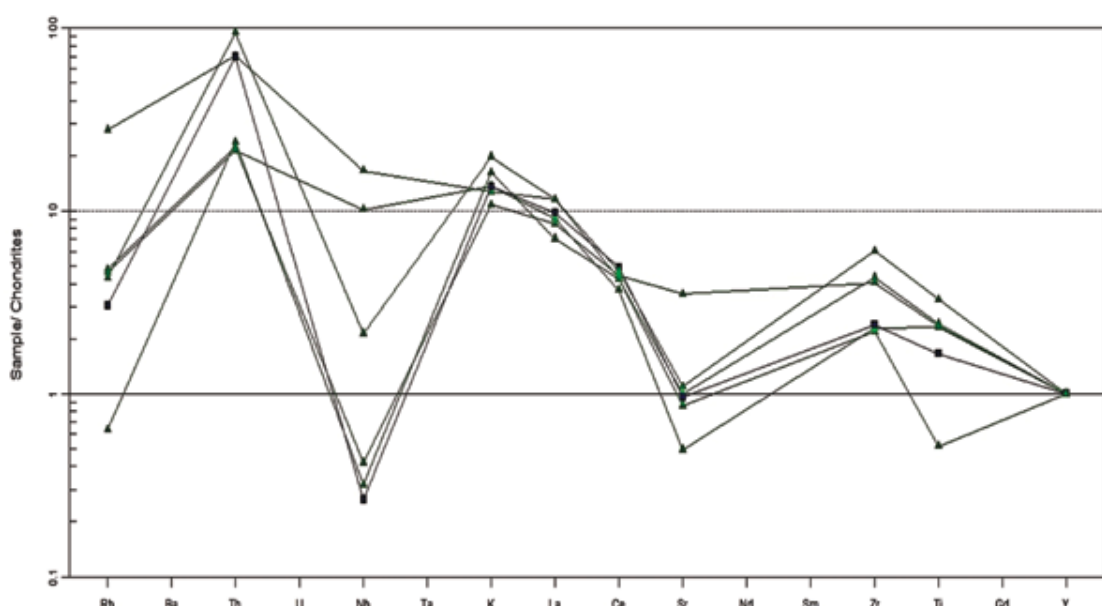
حجت محولاتی و همکاران

بزرگ یون^۲ مانند K و Cs، قابل مشاهده می‌باشد. این ویژگی‌ها می‌تواند نشانه آغشتگی پوسته در فرایند ماقمایی و آلودگی توسط پوسته باشد (Harris, 1986). همچنین آنومالی منفی Sr و Nb از ویژگی‌های آشکار سنگ‌های قاره‌ای است (شکل‌های ۱۵ و ۱۶).

به کندریت و گوشه‌ته اولیه بیانگر غنی شدگی از عناصر خاکی نادر سبک و ناسازگار می‌باشد. این ویژگی‌های کالک‌آلکالن کمان‌های آتشفسانی پهنه‌های فروزانش حاشیه فعال قاره‌هاست (Pearce, 1983). تهی شدگی عناصر باشد میدان بالا^۱ مثل Y, Ti و Nb و غنی شدگی عناصر لیتوفیل



شکل ۱۴. تعیین محیط تکتونیکی سنگ‌های آتشفسانی سیسیستانک (Muller and Groves, 1997) (نماد مثلث آندزیت-بازالت و نماد مریع بازالت می‌باشد)



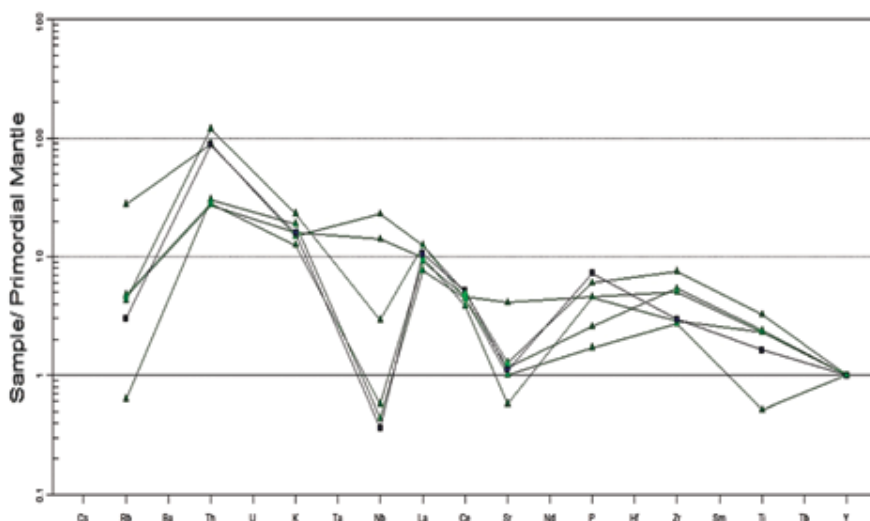
شکل ۱۵. نمودار عنکبوتی نرمالیزه شده براساس کندریت (نماد مثلث آندزیت - بازالت و نماد مریع بازالت می‌باشد)

1. HFSE

2. LILE

از وجود درزهای شکاف‌ها و نیز حفره‌ها را پر کرده است. از نظر کانی‌شناسی، کانی مس شامل: مس خالص، کوپریت، مالاکیت و کالکوسیت بخش اصلی ماده معدنی را تشکیل می‌دهد.

شرح کانی‌سازی مس در منطقه سیستانک
کانی‌سازی مس در منطقه سیستانک به صورت پراکنده و به صورت تعدادی عدسی‌های بسیار نازک و نیز به صورت رگه‌های نازک و رگجه رخ داده که فضای‌های خالی حاصل



شکل ۱۶. نمودار عنکبوتی نرمالیزه شده براساس گوشته اولیه (نماد مثلث آندزیت-بازالت و نماد مریع بازالت می‌باشد)

همان شیب و امتداد سنگ‌های ولکانیکی میزبان می‌باشد (شکل ۱۷). در حاشیه کانی مس خالص که حفرات را پر کرده، کانی‌های دیگری به رنگ سبز، خاکستری‌تیره و قرمز رنگ دیده می‌شود که مطالعات میکروسکوپی نشان داد که کانی‌های مورد نظر مالاکیت، کوپریت و کالکوسیت می‌باشد.

سنگ میزبان کانی‌سازی، گدازه‌های آندزیتی با بافت آمیگدالوئیدال می‌باشد. کانی‌سازی مس در منطقه اساساً به یک افق چینه‌ای، از سنگ‌های ولکانیکی واحد آندزیتی محدود شده و از این رو جز کانی‌سازی تیپ استراتاباند امحسوب می‌شود. افق معدنی از چینه‌شناسی سنگ‌های ولکانیکی میزبان پیروی می‌کند، از این رو افق دارای

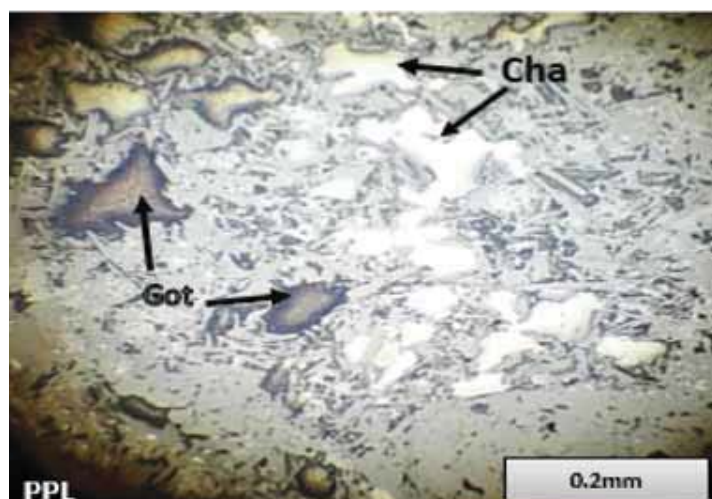


شکل ۱۷. پرشده‌گی حفرات آندزیت توسط مس خالص

حجت محولاتی و همکاران

اشاره کرد. حداکثر هم رشدی و همراهی مربوط به کانی های کاکوسیت، هماتیت و گوتیت می باشد (شکل ۱۸).

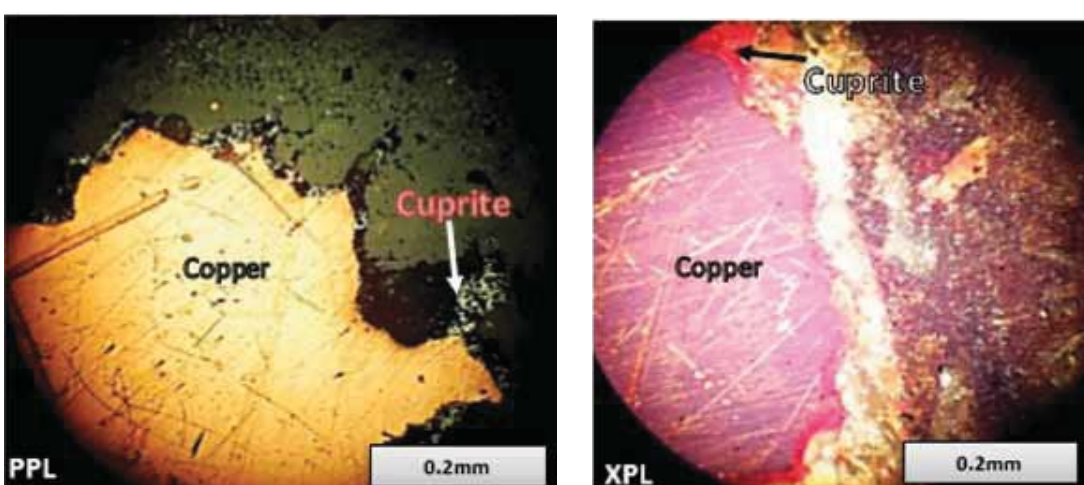
در بیشتر موارد کانی کالکو سیت با دیگر کانی های سولفیدی و اکسیدی هم رشدی نشان می دهد. از جمله این کانی ها می توان به دژنیت، بورنیت، کولیت و هماتیت



شکل ۱۸. هم رشدی کالکو سیت (Cha)، گوتیت (Got) و تیغک های هماتیت

مقاطع شدیم. این فازها، کانی های اکسیدی مس به نام کوپریت بودند که البته در تمامی مقاطع، حاشیه مس خالص همراه با کانی کوپریت است (شکل ۱۹).

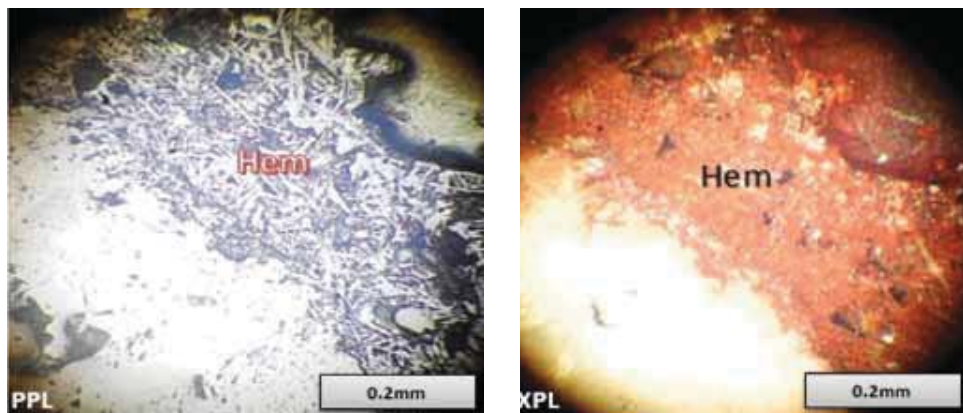
کالکوپیریت به صورت سالم و غیر دگرسان در مقاطع بسیار نادر و دانه ریز می باشد. حین مطالعات میکروسکوپی متوجه حضور فاز های اسفنچ مانند با برجستگی بالا درون



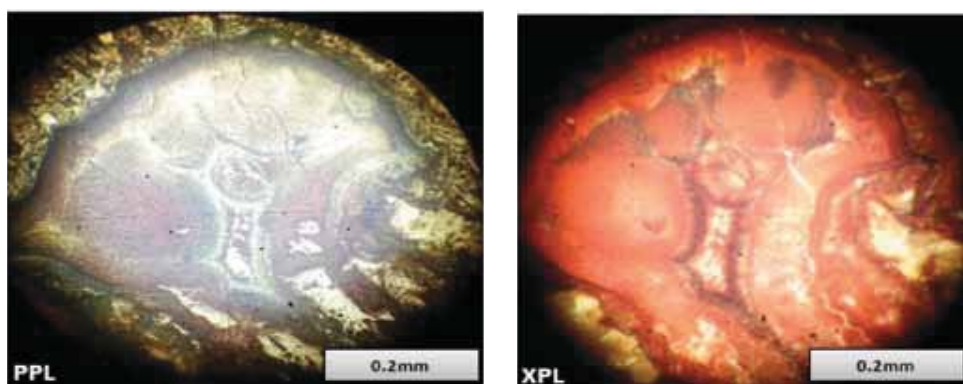
شکل ۱۹. هم جواری کانی مس خالص با کوپریت

(شکل ۲۰). گوتیت ها در بعضی از نمونه ها دارای بافت قلوه ای می باشند. بافت قلوه ای جزء زیر گروه بافت های کلئیدی است (شکل های ۲۱ و ۲۲).

در اغلب نمونه ها درزه و شکاف ها توسط کانی هماتیت پرشده است. کانی هایی که درون فضاهای باز رشد می کنند اغلب دارای ساخت منطقه ای خوبی هستند



شکل ۲۰. پرشدگی درزهای توسط کانی هماتیت (Hem)



شکل ۲۱. بافت قلوهای در گوتیت

با بافت آمیگدالوئیدی اتفاق افتاده است.

• حضور کانی مس خالص

- کانی‌سازی به افق مشخص چینه‌ای محدود می‌شود و از این رو کانی‌سازی تیپ استرایاند محسوب می‌شود.
- بافت غالب کانی‌سازی از نوع پرکننده فضای خالی و همچنین رگه‌ای می‌باشد. که این نوع بافت خاص مناطق کم‌فشار است.

حضور پاراژنز مالاکیت، کالکوسیت و کوپریت همگی بیانگر دماهای پایین تشکیل این کانسار هستند (دماهای تشکیل کالکوسیت 160° و کوولیت 157°) (Guilbert and Park, 1997).

- عدم حضور دگرسانی به شکل منطقه‌ای و پهنه‌بندی شده و قابل تفکیک.

حضور ناچیز مس طبیعی بیانگر وجود و حضور سولفور در محیط تشکیل کانه‌ها و نزدیک بودن PH محلول‌ها به محیط خنثی می‌باشد.

در مجموع، کانی‌های مس که در این مطالعه، شناسایی شدند، شامل:

- کالکوسیت و به مقدار اندکی کالکوپیریت (جزء کانی‌های سولفیدی مس می‌باشند).
- مس خالص (جزء عنصر فلزی می‌باشد).
- کوپریت (جزء کانی‌های اکسیدی مس می‌باشد).
- مالاکیت (جزء کانی‌های کربناته مس می‌باشد).

ترتیب شکل‌گیری کانی‌ها در جدول ۲، به صورت توالی پاراژنزی از فازهایی که ژرفزاد بوده و در دمای بالا شکل گرفته‌اند تا کانی‌های سطحی‌زاد که در اثر دگرسانی کانی‌های اولیه حاصل شده‌اند، می‌باشند (جدول ۲).

خصوصیات کانی‌سازی مس در منطقه سیستانک

خصوصیات کانی‌سازی مس در منطقه سیستانک به شرح زیر است:

- کانی‌سازی مس در سیستانک در سنگ میزان آندزیتی

جدول ۲. نمودار توالی پاراژنزی کانسار مس سیستانک

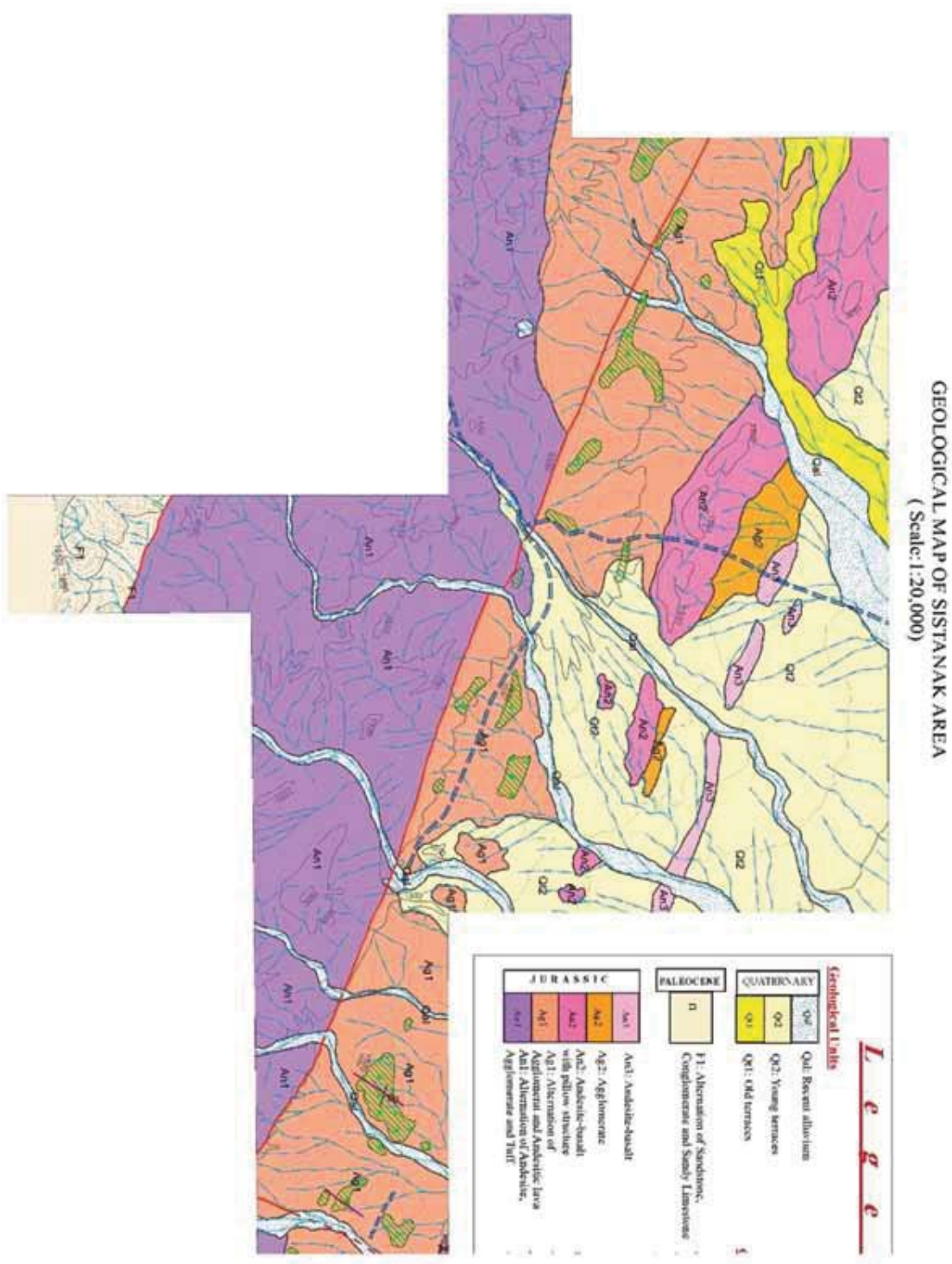
| Mineral | Early → Late Mineralization | |
|---------------|-----------------------------|-----------|
| | Hypogene | Supergene |
| Malachite | | — |
| Hematite | | — |
| Gotite | | — |
| Coprite | | — |
| Native-Copper | — | |
| Chalcocite | — | |
| Chalcopyrite | — | |

نتیجه‌گیری

دگرسانی می‌باشد که این ویژگی نیز در منطقه سیستانک دیده می‌شود.

فقدان گوگرد در تشکیل ذخایر مس، حالتی غیر معمول است. در ذخایر تیپ میشیگان به دلیل نبود گوگرد، مس وارد ساختار کانی‌های اکسیدی شده است. در منطقه سیستانک نیز مقدار کم گوگرد، سبب تشکیل کانه‌های اکسیدی مس می‌شود. در منطقه سیستانک اندازه آمیگدال‌های پر شده با مس در حد دو تا سه میلی‌متر می‌باشد به گونه‌ای که می‌توان در اغلب نمونه‌ها مس خالص را با چشم غیر مسلح دید. این ویژگی نیز در کانسار تیپ میشیگان با کیفیت بهتر دیده می‌شود. در مورد ژئز ماده معنی با توجه به شناخت اولیه موجود، به نظر می‌رسد که کانی‌سازی به صورت کانسارهای تیپ میشیگان یعنی کانی‌سازی مس به صورت پراکنده و رگه و رگچه‌ای در سنگ میزبان ولکانیک و پیروکلاستیک باشد.

ویژگی‌های کانی‌شناسی، بافت و سنگ میزبان کانی‌سازی در کانسار مس سیستانک که در سنگ‌های آتشفسانی با ترکیب آندزیت تا آندزیت-بازالت رخ می‌دهد و مشخصه ژئوشیمی آن، یعنی بالا بودن مس و در کل، مرور این ویژگی‌ها، بلا فاصله ذخایر تیپ میشیگان شبه جزیره کونیاوای آمریکا را به خاطر می‌آورد. در کانسار تیپ میشیگان، مس طبیعی کانی اصلی است. در این کانسار، گاهی اندازه آمیگدال‌ها و رگچه‌های پرشده با مس طبیعی به ۱۰ سانتی‌متر می‌رسد. در تیپ میشیگان، مس طبیعی رتبه نخست را در پاراژنز کانیایی به خود اختصاص داده است. سایر کانی‌های اکسیدی از جمله کوپریت، تنوریت و کریزوولا می‌باشند. در گروه کانی‌های مس تیپ میشیگان، کانی سولفیدی مس دیده نمی‌شوند، این دو ویژگی در کانه‌های مس منطقه سیستانک صادق می‌باشد. کانی مس خالص در سیستانک جزء کانه‌های اصلی مس است. کانسار تیپ میشیگان در سطح زمین فاقد هرگونه



شكل ۲۲. نقشه ۱:۲۰۰۰ (شرکت زرتاب اکتشاف، ۱۳۹۰)

منابع

- igneous rock and associated gold-copper mineralization. Lecture Notes in Earth Sciences. No.56.
- Pearce, J.A., 1983. Role of sub-continental lithosphere in magma genesis at active continental margins. In: Hawkesworth C.J., Nurry M.L., (Eds.), Continental basalts and Mantle Xenoliths. Shiva, Nantwich. 230-249.
 - Pearce, J.A., and Cann, J. R., 1973. Tectonic setting of basic volcanic rocks determined using trace element analyses. *Earth and Planetary Science Letters*, 19, 290-300.
 - Peccerillo R. and Taylor S.R., 1976. Geochemistry of Eocene calc-alkaline volcanic rocks from the Kastamonu area, northern Turkey. *Contrib. Mineralogy and Petrology.*, 58, 63-81.
 - Shand, S. J., 1943. *The Eruptive Rocks*, John Wiley. New York. Stoiber, R. E. and Davidson, E. S., 1959. Amygdule mineral zoning in the portage Lava series, Michigan copper district. *Economic Geology*, 54, 1250-1277; 1444-1460.
 - Stewart, M.L., and Pearce, T.H., 2004. Sieve-textured plagioclase in dacitic magma: Interference imaging results. *Journal of Petrology American Min*, 89, 348-351.
 - Tsuchiyama, A., 1985. Dissolution kinetics of plagioclase in the melt of the system diopside - albite-anorthite and origin of dusty plagioclase in andesite. *Contributions to Mineralogy and Petrology* 89:1-16 Wiley and Sons, 346.
 - Yoder, H.S., and Tilley, C.E. 1962. Origin of basalt magmas: an experimental study of natural and synthetic rock systems. *Journal of Petrology*. 3,342-532.
 - برگه زمین‌شناسی ۱۰۰/۰۰۰ ۱:۱۰۰۵ آبیز، (۲۰۰۵). سازمان زمین‌شناسی و اکتشافات معدنی کشور، تهیه شده توسط اکرمی.
 - شهابپور، ج. (۱۳۸۷)، زمین‌شناسی اقتصادی، انتشارات دانشگاه شهید باهنر کرمان، ۵۴۲ ص.
 - قربانی، م.، ۱۳۸۱، دیاچهای بر زمین‌شناسی اقتصادی ایران، انتشارات آرین زمین، ۸۵۴ ص.
 - Cox K.G., and Bell J.D., and Pankhurst, R.G., 1979. *The interpretation of igneous rocks*. George, Allen and Unwin, London.
 - De La Roche, H., Leterrier, J., Grand-claude, P. and Marchal, M., 1980. A classification of volcanic and plutonic rocks using R1R2 diagram and major element analyses - its relationships with current nomenclature. *Journal of Chemicla Geology*, 29, 183-210.
 - Guilbert, J., and park, C.F., 1997. *The geology of ore deposits*, Freeman and Company. New York, 1997.
 - Harris. N.B.W., pearce, J.A., Tindle, A.G., 1986" *Geochimical characteristics of collision-Zone Magmatism*. In: Cowrad, M.P.,Ries, A.C.(eds). *Collision Tectonise*". Geological Society London, Special Publication, 19, 67-81.
 - Irvin, T. N. and Baragar, W. R. A., 1971, A guide to the chemical classifiection of the common volcanic rock, *Canadian Journal of Earth Sciences*, 8 (5), 523-548.
 - Morata, D., and Aguirre, L., 2003. Extensional lower Cretaceous volcanism in the Coastal Range (2920-30 S), Chile: *Geochemistry and Petrogenesis*. *South American Journal of Earth Sciences.*, 16, 459-476.
 - Muller, D., and Groves D.I. 1997. Potassic